

[文章编号] 1000-4718(2008)07-1313-04

曲古菌素 A 抑制血清诱导血管平滑肌细胞 p27kip1 表达的降解

邹琛, 吴春芳, 徐志红, 陆国平

(上海交通大学附属瑞金医院心脏科, 上海 200025)

[摘要] 目的: 探讨组蛋白去乙酰化酶抑制剂曲古菌素 A(TSA)对血管平滑肌细胞(VSMCs) p27kip1 表达的影响和调控机制。方法: 半定量逆转录聚合酶链反应(RT-PCR)检测 p27kip1 mRNA 水平, 蛋白印迹测定 p27kip1 和 skp2 蛋白表达, 荧光分光光度法测定 20S 蛋白酶体活性。结果: 100 μg/L TSA 不影响 VSMCs 中 p27kip1 的 mRNA 水平。100 μg/L TSA 显著抑制血清诱导的 p27kip1 蛋白下调, 并延长 p27kip1 蛋白的半衰期。100 μg/L TSA 抑制血清诱导的 skp2 表达上调, 且 skp2 表达与相应时点 p27kip1 蛋白呈负相关。100 μg/L TSA 对 20S 蛋白酶体活性物无影响。结论: TSA 对 VSMCs 的 p27kip1 表达调控不是在转录水平上, 而是通过翻译后机制抑制血清诱导 VSMCs 的 p27kip1 蛋白降解, 其机制可能与 TSA 抑制泛素连接酶亚单位 skp2 表达有关。

[关键词] 曲古菌素 A; 血管平滑肌细胞; 基因, p27kip1; S 期激酶相关蛋白 2

[中图分类号] R966

[文献标识码] A

Trichostatin A inhibits serum-induced p27kip1 protein degradation in vascular smooth muscle cells

ZOU Chen, WU Chun-Fang, XU Zhi-Hong, LU Guo-ping

(Department of Cardiology, Ruijin Hospital, Shanghai Jiaotong University, Shanghai 200025, China. E-mail: gplu52@hotmail.com)

[ABSTRACT] AIM: To investigate the effect of trichostatin A (TSA) on p27kip1 gene expression in vascular smooth muscle cells. METHODS: Reverse transcription-polymerase chain reaction (RT-PCR) was used to measure the level of p27kip1 mRNA. The protein levels of p27kip1 and S-phase kinase-associated protein-2 (skp2) were determined by Western blotting. 20S proteasome activity was quantified by using a fluorogenic proteasome-specific substrate. RESULTS: TSA did not affect mRNA level of p27kip1 in VSMCs, but attenuated serum-induced downregulation of p27kip1 through stabilizing p27kip1 turnover. In addition, TSA decreased the expression of skp2, an F-box protein that targets p27kip1 for degradation, but had no effect on proteasome activity. CONCLUSION: TSA regulates p27kip1 expression at the post-translational level in VSMCs.

[KEY WORDS] Trichostatin A; Vascular smooth muscle cells; Genes, p27kip1; S-phase kinase-associated protein-2

组蛋白去乙酰化酶(histone deacetylase, HDAC)抑制剂是新型抗肿瘤药物, 能通过调节细胞周期蛋白激酶抑制物的表达, 诱导肿瘤细胞发生细胞周期停滞^[1,2]。最近研究显示, HDAC 抑制剂可以促进 p21waf1 基因转录和表达, 诱导血管平滑肌细胞(vascular smooth muscle cells, VSMCs)停滞于 G₁ 期, 抑制 VSMCs 增殖^[3]。p27kip1 是细胞周期依赖性激酶抑制物家族的重要成员, 也是治疗 VSMCs 异常增生的靶点之一。HDAC 抑制剂对 VSMCs 的 p27kip1 表达调控模式尚不清楚。本研究观察了 HDAC 抑制剂曲古菌素 A (trichostatin A, TSA) 对 VSMCs 的 p27kip1 基因表达

的影响, 并初步分析其调控的机制。

材料和方法

1 材料

TSA 购于 Upstate 公司; DMEM 培养液、胎牛血清和胰蛋白酶为 Gibco 公司产品; Trizol 为 Invitrogen 公司产品, Taq 酶购自 Promega 公司; 兔抗大鼠 skp2 多克隆抗体购自 Santa Cruz 公司, 小鼠抗大鼠 p27kip1 单克隆抗体购自 BD 公司, 抗 GAPDH 单抗为上海康城公司产品; 20S 蛋白酶体检测试剂盒购于 Biomol 公司。

[收稿日期] 2007-02-27 [修回日期] 2007-08-31

Tel: 021-64370045-665451; E-mail: gplu52@hotmail.com

2 方法

2.1 平滑肌细胞体外培养和处理 用组织贴块法培养血管平滑肌细胞: 取 180~200 g Sprague-Dawley 大鼠颈椎脱臼致死, 无菌条件下打开胸腔, 取出胸主动脉, 浸泡于无菌 Hanks 液。剥去血管内膜和外膜, 取血管中层剪成体积约 $0.5 \text{ mm} \times 1 \text{ mm} \times 1 \text{ mm}$ $\sim 1 \text{ mm} \times 1 \text{ mm} \times 1 \text{ mm}$ 的小块, 接种于培养瓶中, 37 °C、5% CO₂ 培养箱中培养 2 h, 加入含 15% 胎牛血清 (fetal bovine serum, FBS) 的 DMEM 培养液, 待细胞生长融合, 以 0.25% 胰蛋白酶 + 0.2% EDTA 消化液消化传代, 取 4~10 代用于实验。按每平方毫米 1×10^3 个细胞的密度接种于直径 60 mm 培养皿中, 待细胞贴壁后, 更换含 0.4% FBS DMEM 培养液 48 h 使细胞同步化, 换新鲜培养基, 加入终浓度为 100 μg/L TSA 开始实验。

2.2 半定量逆转录聚合酶链反应 (RT-PCR) 检测 p27kip1 mRNA 表达 TSA 处理后分别于相应时点用 Trizol 抽提细胞 RNA, 分光分度计测定波长 260 nm 和 280 nm 吸光度, 计算总 RNA 浓度并估计其纯度。取总 RNA 1 μg 逆转录合成 cDNA 第 1 链, 取 cDNA 合成产物 2 μL 作为模板按照以下条件进行扩增反应: 94 °C 30 s, 57 °C 30 s, 72 °C 45 s, 共 30 个循环。p27kip1: 上游引物 5' - GAG GGC AGA TAC GAG TGG CAG - 3', 下游引物 5' - CTG GAC ACT GCT CCG CTA ACC - 3'; GAPDH: 上游引物 5' - ATG GTG AAG GTC GGT CTG AAC G - 3', 下游引物 5' - GTT GTC ATG GAT GAC CTT GGC C - 3'。取 PCR 产物 10 μL, 2% 琼脂糖凝胶电泳, 紫外灯下观察并摄像。结果用 Bio-Rad 数码凝胶分析系统分析, 以 p27kip1 基因与 GAPDH 基因扩增产物电泳带的灰度比值表示 p27kip1 的 mRNA 水平。

2.3 蛋白印迹法检测蛋白表达 TSA 处理后分别于相应时点提取细胞总蛋白。PBS 洗涤细胞 3 次, 每皿加入细胞裂解液 [50 mmol/L Tris-HCl (pH 7.5), 150 mmol/L NaCl, 1% NP-40, 1 mmol/L EDTA, 20 mmol/L Na₃VO₄, 1 mmol/L PMSF, 10 g/L aprotinin, 10 g/L leupeptin] 150 μL, 冰上静置 15 min, 刮下细胞, 12 000 r/min 离心 30 min, 取上清, BCA 法测定蛋白浓度。取 30 μg 总蛋白, 以 5% 的 SDS-PAGE 积层胶和 12% 分离胶电泳分离, 转 PVDF 膜 (Millipore)。5% 的脱脂牛奶封闭 1 h, 分别以抗 p27kip1、skp2 和 GAPDH I 抗 4 °C 冰箱过夜, II 抗常温下孵育 1 h, 化学发光显影系统 (Amersham) 检测。

2.4 蛋白酶体活性测定 TSA 处理 24 h 后, 用 0.25% 胰蛋白酶消化收集细胞, 预冷的 PBS 洗细胞 1 次, 加入裂解缓冲液 (0.1% Triton X-100, 0.5 mmol/L DTT) 冰上放置 1 h, 4 °C 下 12 000 r/min

离心 20 min, 收集上清液并 BCA 法蛋白定量。取 10 μg 样品和 10 μL 的 Suc-LLVY-AMC (375 μmol/L), 再加入反应缓冲液使反应体系为 50 μL。37 °C 孵育 30 min, 荧光酶标仪 (激发波长 360 nm, 发射波长 460 nm) 测定游离 AMC 的荧光强度。

3 统计学处理

数据以均数 ± 标准差 ($\bar{x} \pm s$) 表示, 多组间比较采用单因素方差分析 (One-way ANOVA)。

结 果

1 TSA 对 p27kip1 mRNA 水平的影响

如图 1 所示, 10% FBS 刺激对 p27kip1 mRNA 水平无明显影响, 在各个观察时点上, p27kip1 mRNA 水平基本不随时间发生显著的变化。而 100 μg/L TSA 干预也不影响 p27kip1 的 mRNA 表达, 相应时点的 mRNA 水平与单纯 10% FBS 刺激组无显著差别。

2 TSA 对 p27kip1 蛋白表达和半衰期的影响

如图 2 所示, 10% FBS 刺激诱导 p27kip1 蛋白下调, 此作用呈时间依赖性, 10% FBS 刺激 16 h 后的 p27kip1 蛋白水平与 0 h 的差异显著, 10% FBS 刺激 24 h 后 p27kip1 蛋白水平进一步下降。而在 100 μg/L TSA 干预组可见, p27kip1 蛋白水平并不因血清刺激而显著减低, 直至 24 h 时, p27kip1 蛋白水平仍保持与 0 h 的相近水平, 显著高于单纯 10% FBS 刺激组。

为了测定 p27kip1 蛋白的半衰期, 我们加入了 20 mg/L 亚胺环己酮 (cycloheximide) 阻断蛋白质的重新合成。如图 3 所示, 10% FBS 刺激组 p27 蛋白的半衰期为 8.18 h, 而在 TSA 干预组, p27kip1 的半衰

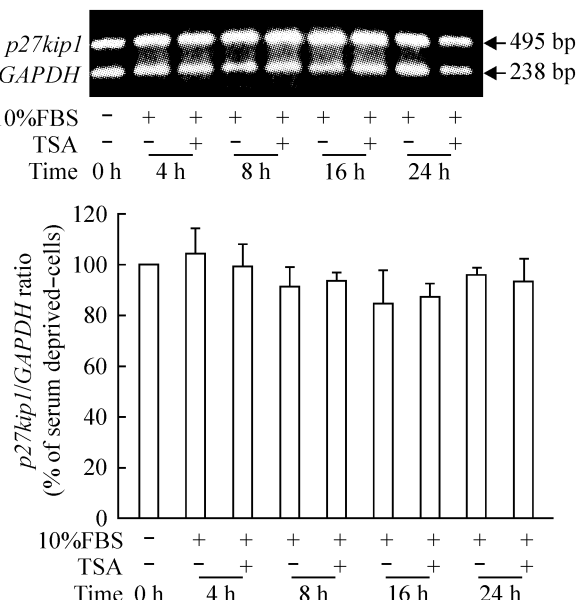


Fig 1 The effect of TSA (100 μg/L) on the level of p27kip1 mRNA.

图 1 100 μg/L TSA 不同时点对 p27kip1 mRNA 影响

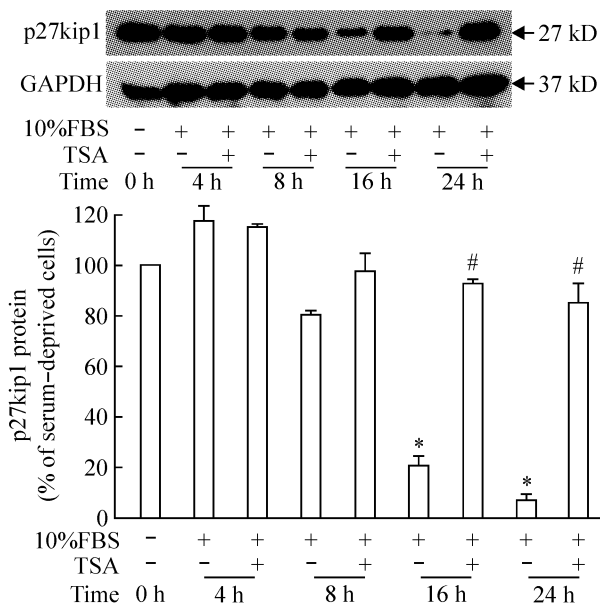


Fig 2 The effect of TSA (100 $\mu\text{g}/\text{L}$) on the level of p27kip1 protein. * $P < 0.05$ vs 0 h; # $P < 0.05$ vs 10% FBS stimulated control.

图2 100 $\mu\text{g}/\text{L}$ TSA 不同时点对 p27kip1 蛋白表达影响

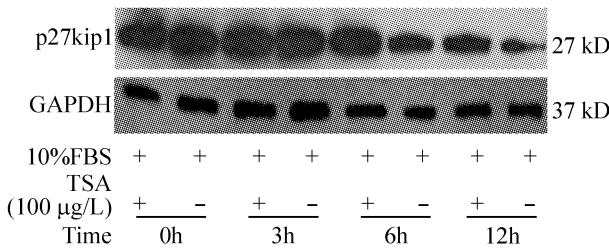


Fig 3 The effect of TSA (100 $\mu\text{g}/\text{L}$) on the half-life of p27kip1 protein.

图3 100 $\mu\text{g}/\text{L}$ TSA 对 p27kip1 蛋白半衰期的影响

期显著延长,说明TSA对p27kip1的调控发生在翻译后的水平上能抑制血清诱导p27kip1蛋白质的降解。

3 TSA 对 20S 蛋白酶体活性和 skp2 表达的影响

细胞内蛋白质主要通过泛素蛋白酶体系统降解。

泛素修饰酶通过级联反应对目的蛋白进行泛素化修饰,最终由蛋白酶体降解。蛋白酶体由多个亚基组成,其中20S核心亚单位负责泛素化蛋白降解。如图4所示,10%FBS激活20S亚单位的蛋白酶活性较静止期细胞的蛋白酶体活性显著升高。100 $\mu\text{g}/\text{L}$ TSA干预对10%FBS激活蛋白酶体活性的作用无明显影响,提示TSA是通过其它途径实现提高蛋白稳定性。

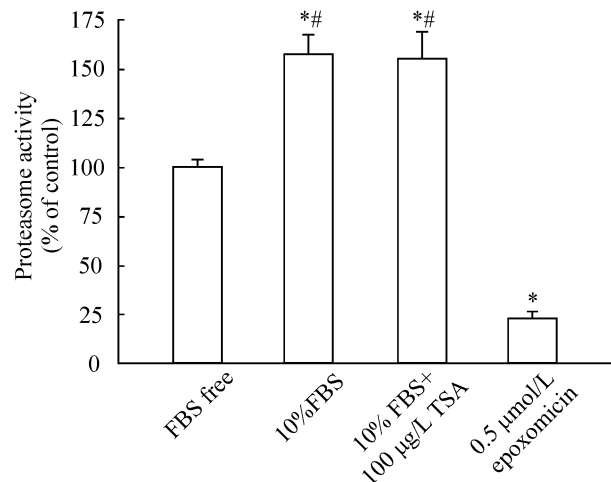


Fig 4 The effect of TSA (100 $\mu\text{g}/\text{L}$) on the activity of 20 S proteasome. * $P < 0.05$ vs FBS free control; # $P < 0.05$ vs positive control (epoxomicin).

图4 100 $\mu\text{g}/\text{L}$ TSA 对 20S 蛋白酶体活性的影响

S - phase kinase - associated protein - 2 (skp2)是泛素连接酶SCF^{skp}的亚单位,负责特异性识别并结合p27kip1。如图5所示,经血清饥饿48 h,静止状态下的VSMCs几乎不表达skp2。在10%FBS刺激下,

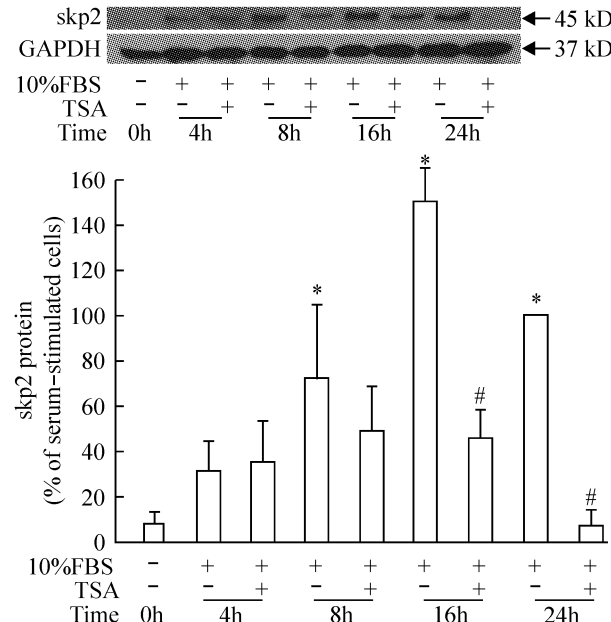


Fig 5 The effect of TSA (100 $\mu\text{g}/\text{L}$) on the level of skp2 protein. * $P < 0.05$ vs 0 h; # $P < 0.05$ vs 10% FBS stimulated control.

图5 100 $\mu\text{g}/\text{L}$ TSA 对 skp2 蛋白表达的影响

随着时间的延长,VSMCs 内 skp2 的表达上调,与相应时点 p27kip1 蛋白水平呈反相变化。100 μg/L TSA 干预则显著抑制血清上调 skp2 的作用,在相应时点上,skp2 蛋白表达显著低于单纯 10% FBS 刺激组。

讨 论

既往对多种肿瘤细胞的研究显示,HDAC 抑制剂通过促进 p27kip1 或 p21waf1 表达抑制细胞增殖^[1]。近期有报道,HDAC 抑制剂具有抑制 VSMCs 增殖的作用。Okamoto 等^[3] 报道,TSA 显著上调 VSMCs 表达 p21waf1,但是不影响 p27kip1 蛋白的表达。但是,我们的结果提示,TSA 能抑制血清诱导的 p27kip1 蛋白降解。这与 Okamoto 的研究并不矛盾,实际上,在 Okamoto 的研究中,300 μg/L TSA 干预 24 h 和 48 h 时的 p27kip1 蛋白水平与 0 h 相似,这与我们的结果相一致。而本研究显示,p27kip1 蛋白表达随血清刺激时间延长而下调,血清刺激 24 h 时 p27kip1 的表达已几乎检测不到,而此时 TSA 干预组 p27kip1 表达仍保持在与血清刺激前相近的水平,表明 TSA 具有显著抑制血清诱导 p27kip1 下调的作用。HDAC 抑制剂对 p27kip1 和 p21waf1 基因表达的调控机制不同。转录调控对 p21waf1 基因表达起关键作用^[4]。TSA 能促进 p21waf1 启动子区域组蛋白乙酰化,进而激活 p21waf1 基因转录^[5]。然而,p27kip1 基因表达调控主要是在翻译和翻译后水平上实现的^[6]。在本研究中,TSA 不影响 p27kip1 的 mRNA 表达,而在蛋白合成抑制剂亚胺环己酮存在的条件下,较之血清刺激组,TSA 可以使得 p27kip1 蛋白半衰期延长,说明在此过程中无需新蛋白质合成,因此,TSA 并非通过促进 p27kip1 基因转录和翻译上调其表达,而是通过翻译后机制抑制血清诱导 p27kip1 蛋白降解,使 p27kip1 表达维持在与静止期 VSMCs 相似的水平。

细胞内蛋白质主要通过泛素蛋白酶体系统降解,蛋白酶体活性下降和/或泛素修饰酶功能异常都可以导致相应的蛋白质降解减少^[7]。HDAC 抑制剂是否能直接抑制 20S 蛋白酶体活性还存在争议。TSA 和丁酸钠可以抑制 WI - 38 细胞和大肠癌细胞系的 20S 蛋白酶体活性^[8,9],但丙戊酸对多发性骨髓瘤细胞的 20S 蛋白酶体活性无影响^[10],这可能与不同细胞系特性及药物剂量差异等因素有关。本研究中,100 μg/L TSA 对 20S 蛋白酶体活性无影响,提示 TSA 作用于蛋白酶体上游的某因素使得 p27kip1 蛋白稳定性增加。skp2 是 SCFskp 泛素连接酶的亚单位,负责特异性识别 p27kip1 并将多聚泛素链传递给 p27kip1 蛋白^[11]。在多种肿瘤组织中均发现 p27kip1 蛋白丰度与 skp2 表达负相关^[6]。Wu 等^[12] 报道,增殖期 VSMCs 的 skp2 表达上调,而 p27kip1

蛋白下降。采用 RNA 干扰的方法抑制 VSMCs 的 skp2 表达导致 p27kip1 蛋白上调。说明在 VSMCs 中,skp2 是调控 p27kip1 表达的关键因子。我们发现,TSA 抑制血清诱导的 skp2 蛋白上调,且与 p27kip1 蛋白表达呈反相变化,提示 skp2 在 TSA 抑制血清诱导的 p27kip1 降解中起一定的作用。但是,在 TSA 对 VSMCs 的 p27kip1 调控过程中,skp2 是否必需还有待进一步研究。

[参 考 文 献]

- [1] Drummond DC, Noble CO, Kirpotin DB, et al. Clinical development of histone deacetylase inhibitors as anticancer agents[J]. Annu Rev Pharmacol Toxicol, 2005, 45:495 – 528.
- [2] 邹琛,周俊,陆国平.组蛋白去乙酰化酶抑制剂与细胞周期和凋亡关系的研究进展[J].中国病理生理杂志,2007,23(12):2487 – 2490.
- [3] Okamoto H, Fujioka Y, Takahashi A, et al. Trichostatin A, an inhibitor of histone deacetylase, inhibits smooth muscle cell proliferation via induction of p21 (WAF1) [J]. J Atheroscler Thromb, 2006, 13(4):183 – 191.
- [4] Gartel AL, Tyner AL. Transcriptional regulation of the p21 (WAF1/CIP1) gene [J]. Exp Cell Res, 1999, 246 (2):280 – 289.
- [5] Sowa Y, Orita T, Hiranabe – Minamikawa S, et al. Histone deacetylase inhibitor activates the p21/WAF1/Cip1 gene promoter through the Sp1 sites [J]. Ann N Y Acad Sci, 1999, 886:195 – 199.
- [6] Blain SW, Scher HI, Cordon – Cardo C, et al. p27 as a target for cancer therapeutics [J]. Cancer Cell, 2003, 3 (2):111 – 115.
- [7] Mani A, Gelmann EP. The ubiquitin – proteasome pathway and its role in cancer [J]. J Clin Oncol, 2005, 23 (21):4776 – 4789.
- [8] Place RF, Noonan EJ, Giardina C. HDACs and the senescent phenotype of WI – 38 cells [J]. BMC Cell Biol, 2005, 6:37 – 48.
- [9] Yin L, Laevsky G, Giardina C. Butyrate suppression of colonocyte NF – kappa B activation and cellular proteasome activity [J]. J Biol Chem, 2001, 276(48):44641 – 44646.
- [10] Kaiser M, Zavrski I, Sterz J, et al. The effects of the histone deacetylase inhibitor valproic acid on cell cycle, growth suppression and apoptosis in multiple myeloma [J]. Haematologica, 2006, 91(2):248 – 251.
- [11] Carrano AC, Eytan E, Herskoff A, et al. SKP2 is required for ubiquitin – mediated degradation of the CDK inhibitor p27 [J]. Nat Cell Biol, 1999, 1(4):193 – 199.
- [12] Wu YJ, Bond M, Sala – Newby GB, et al. Altered S – phase kinase – associated protein – 2 levels are a major mediator of cyclic nucleotide – induced inhibition of vascular smooth muscle cell proliferation [J]. Circ Res, 2006, 98(9):1141 – 1150.